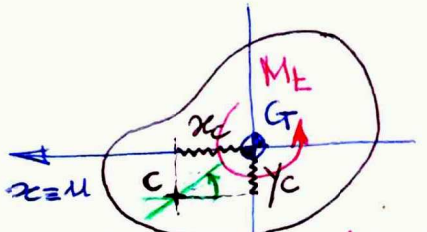


- Si è ipotizzato sinora che la sezione ruoti rispetto al barycentro G, con ingombramento fuori piano descritto dalla funzione $\Psi_G(x, y)$
- Più in generale si considera ora la rotazione della sezione, nel suo piano, rispetto ad un punto C, detto centro di torsione, tale per cui le rotazioni medie fuori piano delle sezione associate ad una funzione di ingombramento $\Psi_C(x, y)$ ad esso riferita risultino nulle.



assi
principali $v=y$

Valor medio dello
spostamento fuori piano
sull'area A

$$\bar{s}_z = \frac{1}{A} \int_A s_z dA = \beta \int_A \Psi_C dA = \beta \bar{\Psi}_C = 0$$

- Campo di spostamenti riferito a C (rotazione β_z rispetto a C)

$$\begin{cases} s_x = -\beta z(y - y_C) \\ s_y = \beta z(x - x_C) \\ s_z = \beta \Psi_C(x, y) \end{cases}$$

f. m. di ingombramento
riferita a C con:

$$\begin{cases} \text{Campo di sfoco } T_z \\ T_{zx} = G\beta(\Psi_C, x - y + y_C) \\ T_{zy} = G\beta(\Psi_C, y + x - x_C) \end{cases}$$

Valor medio di Ψ_C su A

$$\bar{\Psi}_C = \frac{1}{A} \int_A \Psi_C(x, y) dA = 0$$

Dall'eq. ne di equilibrio:
 $\nabla^2 \Psi_C = 0$ non cambia
eq. ne di Laplace per Ψ_C in A

Moto medio fuori piano nullo per
la sezione \Rightarrow pone a zero lo spostam.
rigido nella direzione dell'asse Z.

- Condizione al contorno:

$$T_{zx} n_x + T_{zy} n_y = G\beta(\Psi_C, x n_x - y n_x + y_C n_x + \Psi_C, y n_y + x n_y - x_C n_y) = 0$$

$$\Psi_C, n + y_C n_x - x_C n_y = n_x y - n_y x \text{ su } \Gamma$$

$$n_x = \frac{dx}{dn}, n_y = \frac{dy}{dn}$$

$$(\Psi_C + y_C x - x_C y), n = n_x y - n_y x \text{ su } \Gamma$$

$$\Psi^* = \Psi_C + y_C x - x_C y \text{ con } \Psi^*, n = n_x y - n_y x \text{ su } \Gamma \Rightarrow \Psi^* = \Psi_G + K$$

(se $\nabla^2 \Psi_C = 0$, anche $\nabla^2 \Psi^* = 0$) Ψ^* differisce da Ψ_C per un termine lineare in x, y

stessa e. e. di N.-D. che per $\Psi_C \Rightarrow \Psi^* \neq \Psi_C$ differiscono (con stessa eq. ne di Laplace).

al più per una costante

- Si definisce centro di torsione il punto C tale per cui le rotazioni medie sotto definite si annullano:

$$\bar{\vartheta}_x = \frac{1}{J_x} \int_A \frac{s_z}{y} y dA = \frac{1}{J_x} \int_A \frac{s_z}{y} \partial J_x = 0$$

$$\bar{\vartheta}_y = -\frac{1}{J_y} \int_A \frac{s_z}{x} x dA = -\frac{1}{J_y} \int_A \frac{s_z}{x} \partial J_y = 0$$

$$\rightarrow \int_A \Psi_C dA = 0, \int_A \Psi_C x dA = 0, \int_A \Psi_C y dA = 0$$

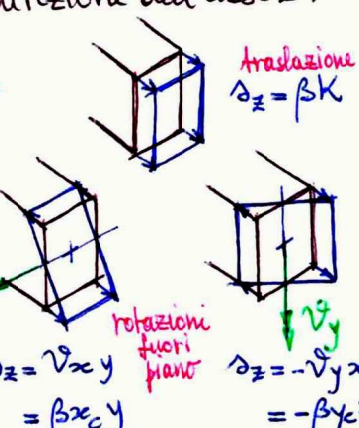
$$\begin{cases} x_C = -\frac{1}{J_x} \int_A \Psi_C y dA \\ y_C = \frac{1}{J_y} \int_A \Psi_C x dA \end{cases}$$

N.B.:
- se l'asse è dissim.,
C è a tale asse
- se sezione doppia.
simmetrica, C=G

Coordinate del centro
di torsione (note una
volta nota Ψ_G) - In pratica si determ.
le sola Ψ_C . Note x_C, y_C, Ψ_C può essere det.
con la (*)

- Rotazioni medie valutate dal
campo s_z tramite il PLV
(v. ad es. calcolo di rotaz. nei sistemi di travi)

$$\begin{aligned} M_x \cdot \bar{\vartheta}_x &= \int_A \sigma_{zz} dA \cdot s_z = \int_A \frac{M_x}{J_x} y s_z dA = \frac{1}{J_x} \int_A s_z y dA \\ M_y \cdot \bar{\vartheta}_y &= \int_A \sigma_{zz} dA \cdot s_z = \int_A \frac{-M_y}{J_y} x s_z dA = -\frac{1}{J_y} \int_A s_z x dA \end{aligned}$$



- Torsione - Approccio agli sforzi (pago a priori l'equilibrio, impongo la congruenza) Ehizzi@Unibg.it

 - Hp. \exists f.n. $\varphi = \varphi(x, y)$ funzione potenziale di sforzo o funzione di AIRY (definita a meno di una costante):
 - $\tau_{zx} = \frac{\partial \varphi}{\partial y} = \varphi_{,y}$; $\tau_{zy} = -\frac{\partial \varphi}{\partial x} = -\varphi_{,x}$ (le derivate della funzione φ formiscono le tensioni tangenziali) -
 - Con tali posizioni l'eq. ne di equilibrio risulta identicamente soddisfatta - Infatti:
- $\tau_{zx,xx} + \tau_{zy,y} = \varphi_{,yy} + (-\varphi_{,xx}) \equiv 0$ ✓OK
L^{th.} di Schwarz laplaciano
- Eq. ne di congruenza:
- $\tau_{zx,y} - \tau_{zy,x} = -c \rightarrow \varphi_{,yy} + \varphi_{,xx} = -c \rightarrow \nabla^2 \varphi(x, y) = -c$ in A. Eq. ne di Poisson (con termine noto costante)
- Condizione al contorno su Γ :
- $\tau_{zx} n_x + \tau_{zy} n_y = 0 \rightarrow \varphi_{,y} n_x - \varphi_{,x} n_y = \varphi_{,x} t_x + \varphi_{,y} t_y = \varphi_{,t} = \varphi_{,s} = 0 \rightarrow \varphi = \text{cost} = 0$ su Γ
- derivata di φ lungo Γ
e.e. di Dirichlet (valore assegnato della f.n. incognita su Γ)
o da e.e.
- Si ottiene quindi un pb. di Dirichlet per l'eq. ne di Poisson -
 - Il legame $c \leftrightarrow M_t$ si evince dall'equivalenza statica:
- $M_t = \int_A (\tau_{zy} x - \tau_{zx} y) dA = \int_A (-\varphi_{,x} x - \varphi_{,y} y) dA = - \int_A [(\varphi_{,x})_{,x} + (\varphi_{,y})_{,y}] dA + 2 \int_A \varphi dA = - \int_{\Gamma} \varphi (x n_x + y n_y) d\Gamma + 2 \int_A \varphi dA = M_t$
- SINOSSI - TORSIONE
- | Approccio agli spostamenti (cinematico) | Approccio agli sforzi (statico) |
|---|--|
| incognite $\psi_G(x, y); \beta$ | incognite $\varphi(x, y); c$ |
| Pb. di N-D. $\begin{cases} \nabla^2 \psi_G = 0 \text{ in } A \\ \text{per l'eq. ne di L. } \psi_{G,n} = n_x y - n_y x \text{ su } \Gamma \end{cases}$ | Pb. di D. $\begin{cases} \nabla^2 \varphi = -c \text{ in } A \\ \text{per l'eq. ne di P. } \varphi = 0 \text{ su } \Gamma \end{cases}$ |
| relaz. $\beta = \frac{M_t}{GJ}; J = J(\psi_G) = \frac{J_G}{\eta} \rightarrow 1$ | relaz. $M_t = 2 \int_A \varphi dA$ |
- Relazioni mutue
- $\epsilon = 2G\beta$
- $\begin{cases} \varphi_{,y} = \beta (\psi_{G,x} - y) = \tau_{zx} \\ -\varphi_{,x} = \beta (\psi_{G,y} + x) = \tau_{zy} \end{cases} \quad \text{e} \quad \begin{cases} \psi_{G,x} = \frac{1}{G\beta} \varphi_{,y} + y \\ \psi_{G,y} = -\frac{1}{G\beta} \varphi_{,x} - x \end{cases}$
- I due approcci statico e cinematico devono condurre alla stessa soluzione (unica) del pb. di DSV (caso della torsione) -
- Soluzione
- Analitica esatta: possibile solo in casi particolari (es. sezione ellittica).
 - Analitica approssimata:
 - per sviluppi in serie troncati (es. sez. rettangolare)
 - in forme chiuse (es. profili sottili)
 - Numerica:
 - metodo delle differenze finite (v. Calcolo Numerico)
 - metodo degli elementi finiti (v. Meccanica Computazionale dei Solidi e delle Strutture) 19a(2)

20a Lez. Cd\$dc - Analogie fisiche (del pb. della torsione con altri fenomeni fisici regiti da eq. ni governanti simili)

- Il pb. della torsione, come precedentemente formulato, presenta analogie formali con altri fenomeni fisici molto studiati.
- Tale analogia risulta utile a vari scopi, ad es.:
 - utilizzare le soluzioni, se presenti, del pb. analogo, tramite reinterpretazione delle variabili in gioco.
 - visualizzare ed interpretare le caratteristiche della risposta.
 - realizzare degli esperimenti utili a descrivere e quantificare la risposta torsionale.

[egidio.rizzi @ unibg.it](mailto:egidio.rizzi@unibg.it)

Analogia idrodinamica (Lord Kelvin, 1869)



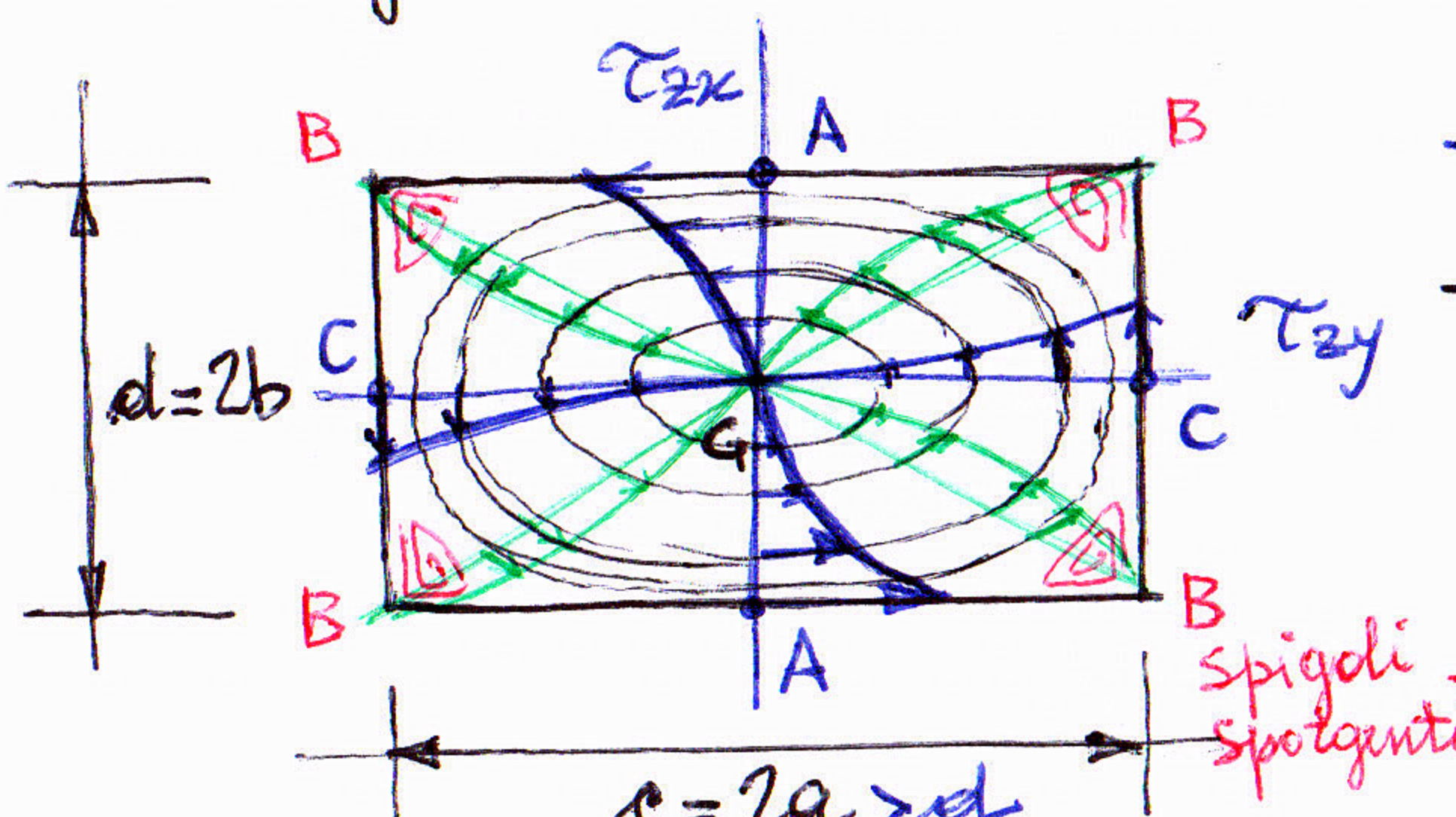
- Condizioni al contorno: $\nabla \perp n$ (il fluido non può uscire dal serbatoio)

- Si evince pertanto analogie formale tra:

$$\tau_{zx} = \begin{cases} \tau_{zx} \\ \tau_{zy} \end{cases} \Leftrightarrow \nabla v = \begin{cases} v_x \\ v_y \end{cases}, \text{ cioè } \begin{cases} \tau_{zx} \Leftrightarrow v_x \\ \tau_{zy} \Leftrightarrow v_y \end{cases}$$

$$\Phi = \Phi(x, y) \Leftrightarrow \Phi = \Phi(x, y) \text{ f.m. di flusso ("stream function") : } \begin{cases} v_x = \Phi_{,y} \\ v_y = -\Phi_{,x} \end{cases} \quad (\Phi = \text{cost} \text{ rappresenta il campo delle tensioni tangenziali})$$

- L'analogia è utile a visualizzare il campo di sforzo (es.: sezione rettangolare):



- A: $\tau \stackrel{\text{max}}{>} \text{ nei p.ti medi dei lati maggiori (nonostante } \bar{GA} < \bar{GC} \text{)}$
- C: $\tau < \tau^{\text{max}}$ (pensare all'analogia con la portata $Q = VA = \text{cost} \Rightarrow$ fluido più veloce ove le sezioni di passaggio si restringono)
- B: $\tau \approx 0$ ($v \approx 0$: zone di ristagno di fluido) (sorprendentemente $\tau \approx 0$ nei p.ti più lontani da G)

- Moto ^{piano} di un fluido perfetto (non viscoso) incomprimibile all'interno di un recipiente rigido avente contorno uguale a quello della sezione del prisma di DSV soggetto a torsione, con vorticità (velocità angolare) costante.
- Eq. ni governanti analoghe a quelle della torsione:

$$\text{- Eq. ne di continuità: } \frac{dp}{dt} + \rho \text{ div } v = 0 \quad (\rho: \text{densità costante, poiché incomp.})$$

$$\nabla \cdot v = \text{div } v = 0 \Leftrightarrow \text{campo di velocità solenoidale in A}$$

- Vorticità costante:

$$2\dot{\omega}_z = \text{rot } v = \nabla \wedge v = \text{cost} \quad \text{in A}$$

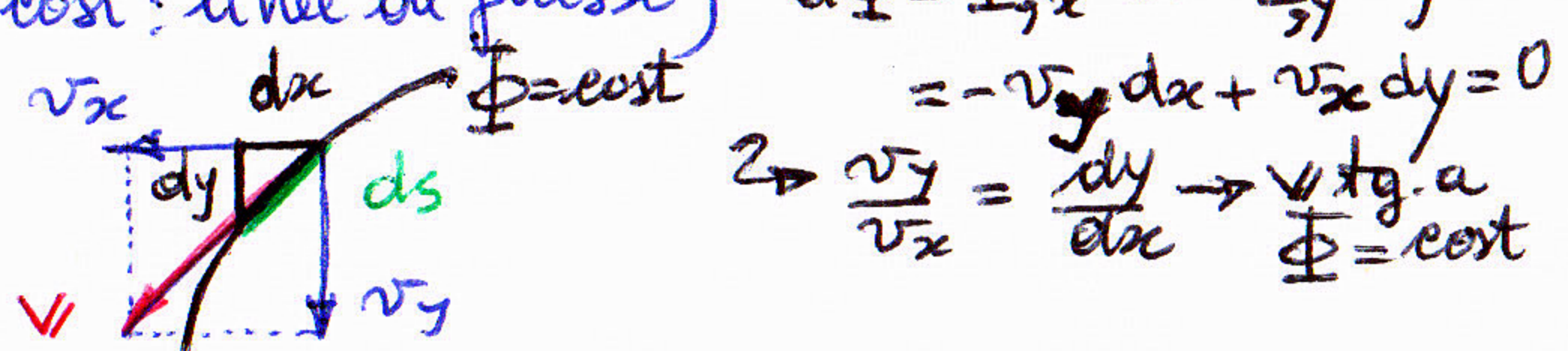
$$2\dot{\omega}_z K = (v_{y,x} - v_{x,y})K = \text{cost} \quad \nabla \wedge v = \begin{vmatrix} i & j & K \\ \frac{\partial}{\partial x} & \frac{\partial}{\partial y} & \frac{\partial}{\partial z} \\ v_x & v_y & v_z \end{vmatrix} = j(v_{z,y} - v_{y,z}) + K(v_{y,x} - v_{x,y})$$

f.m. di flusso (no z) (qui 0) (al piano) (x, y)

$$\text{- Su } \Phi = \text{cost} \quad d\Phi = \Phi_{,x} dx + \Phi_{,y} dy = 0$$

$$= -v_y dx + v_x dy = 0$$

$$\Rightarrow \frac{dy}{dx} = \frac{v_x}{v_y} \rightarrow v \text{ tg. a } \Phi = \text{cost}$$



- Da soluzione con sviluppo in serie (troncato \Rightarrow approx)

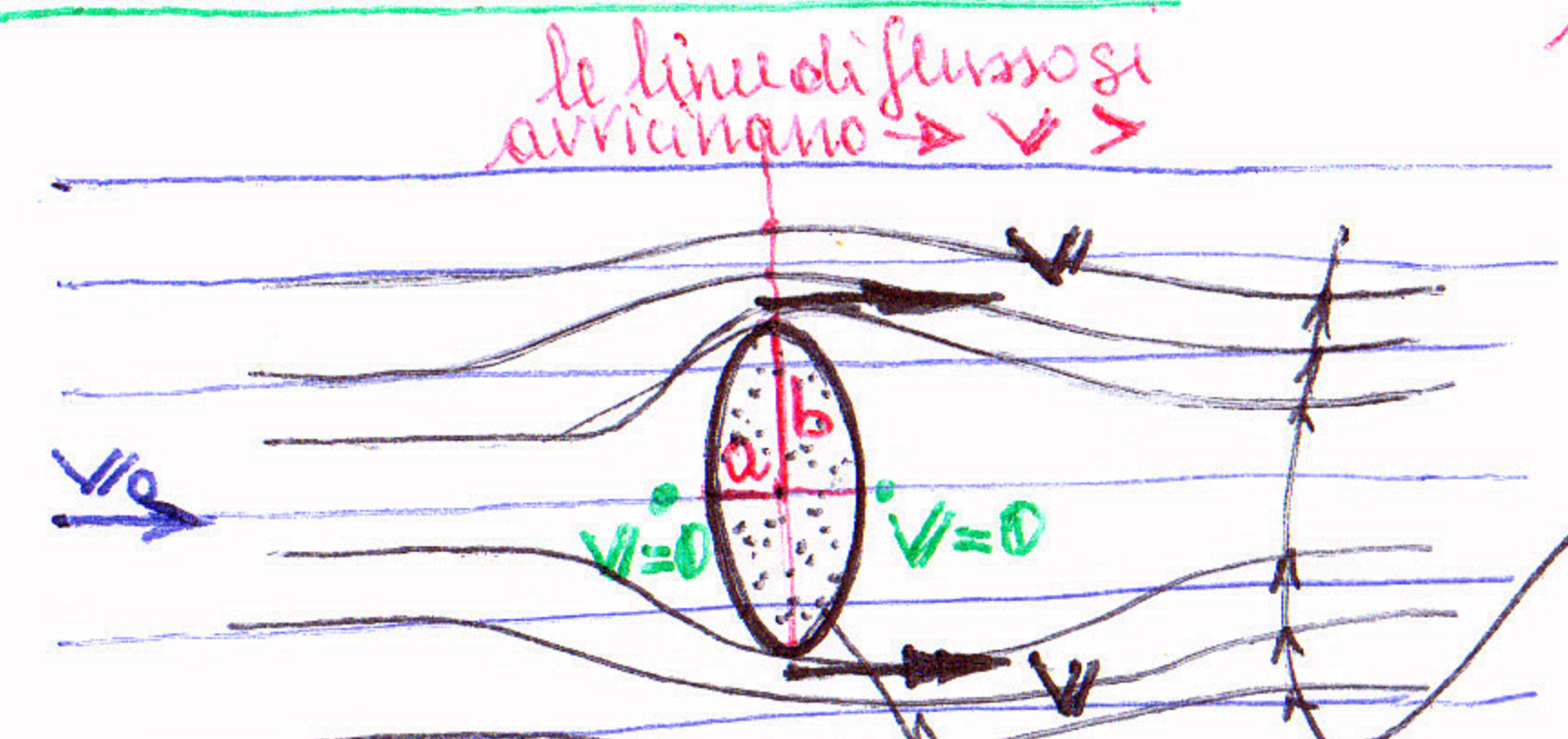
$$\tau^{\text{max}} = K \frac{Mt}{c \cdot d^2}$$

$$\text{mom. d'inerzia torsionale} = \alpha c d^3$$

con coeff. K, d tabellati [sez. rettangolare sottili] 20a/1

c/d	K	α
1	4.80	0.141
2	4.06	0.229
5	3.44	0.291
∞	3.00	0.333 = 1/3

Concentrazione di tensioni



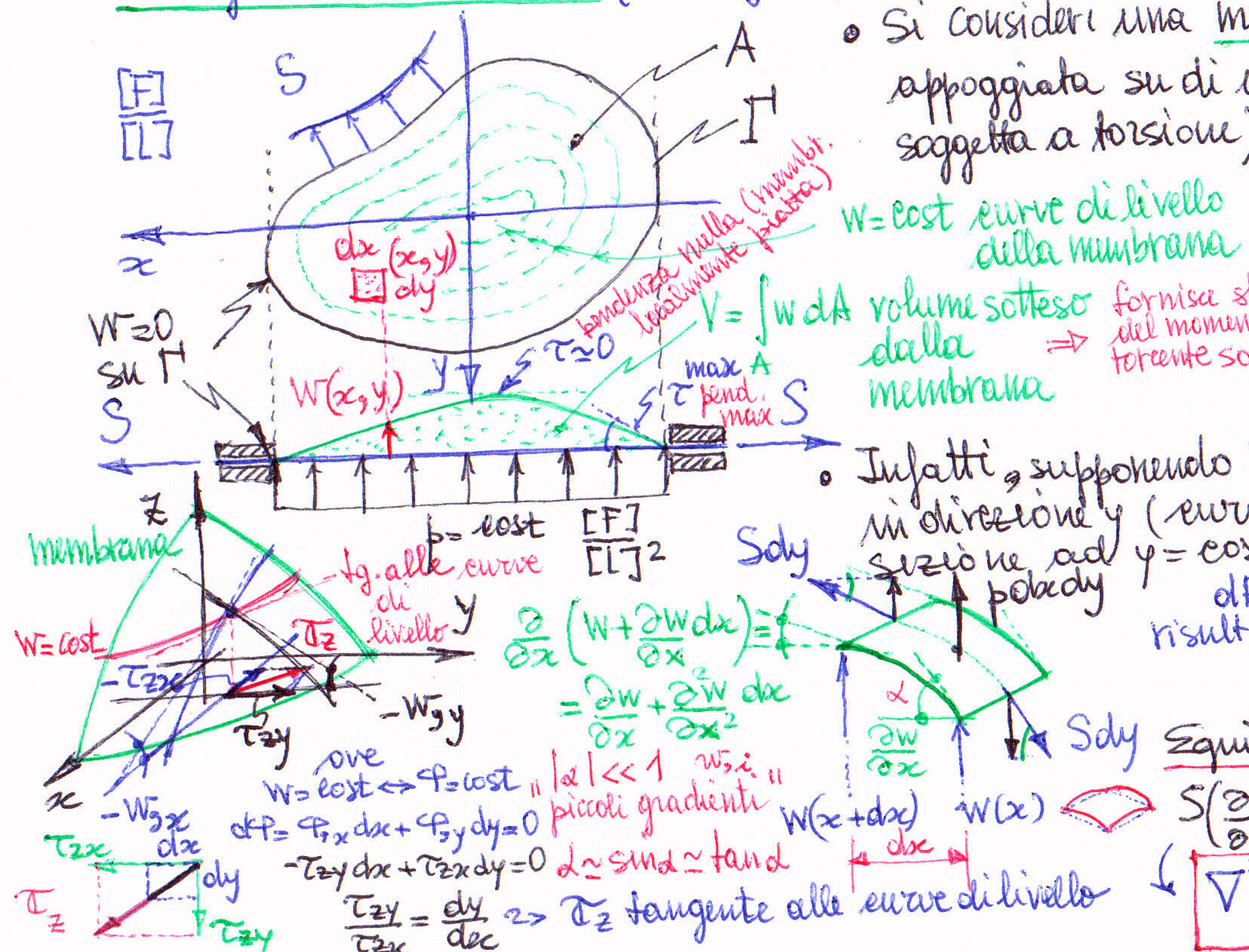
soggetto a campo di moto uniforme, perturbato da ostacolo ellittico inserito (semiassi a, b)

Formule di TREFFTZ (1922) - Sperimentale

concentrazione di tensione in spigolo smussato con raccordo circolare di raggio $r \rightarrow$ es. profilo sottile soggetto a torsione (o a taglio)

smussare gli spigoli rientranti?
possibili condizioni di innescio di eriche e fratture

Analogia della MEMBRANA (Ludwig PRANDTL ~ 1903)



fattore di amplificazione della velocità

$$V = \left(1 + \frac{b}{a}\right) V_0$$

linee di flusso alterate dall'ostacolo

$$\Rightarrow \text{per } \frac{b}{a} \rightarrow \infty, \frac{a}{b} \rightarrow 0 \Rightarrow V \rightarrow \infty$$

ostacolo

es. circolare

$$2V_0$$

$$a=b=R \rightarrow 2V_0$$

ostacolo con bordo tendente a rappresentare uno spigolo vivo.

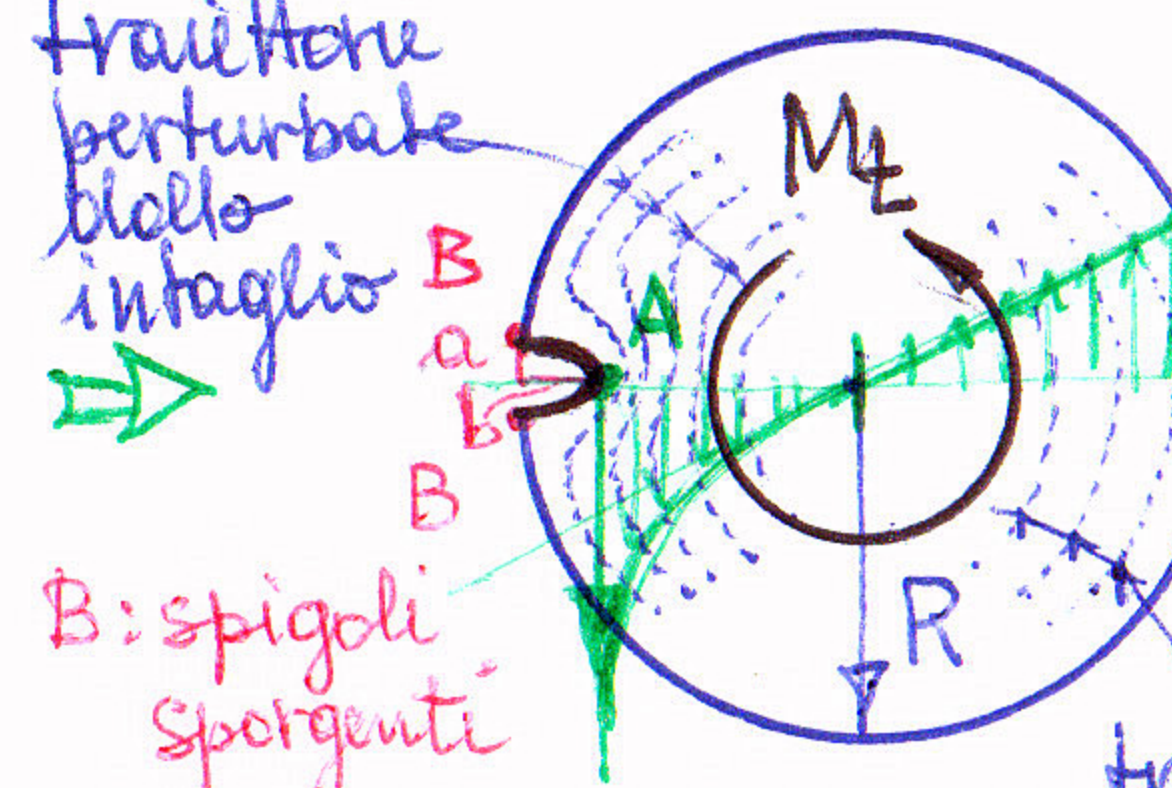
Sezione circolare soggetta a torsione con intaglio ellittico (es. accidentale)

$a, b \ll R$

T_{zt} A: spigoli rientranti.

$2M_t = T_{zt}^{\max}$ Incremento di V .

πR^3 Concentrazione di tensioni



traiettorie perturbate dalla intaglio B

B: spigoli sporgenti

$\Rightarrow v \approx 0 \Rightarrow T \approx 0$

traiettorie regolari

$$(1 + \frac{b}{a}) T_{zt}^{\max}$$

es. $b=a=r \rightarrow 2 T_{zt}^{\max}$

$\ll R$

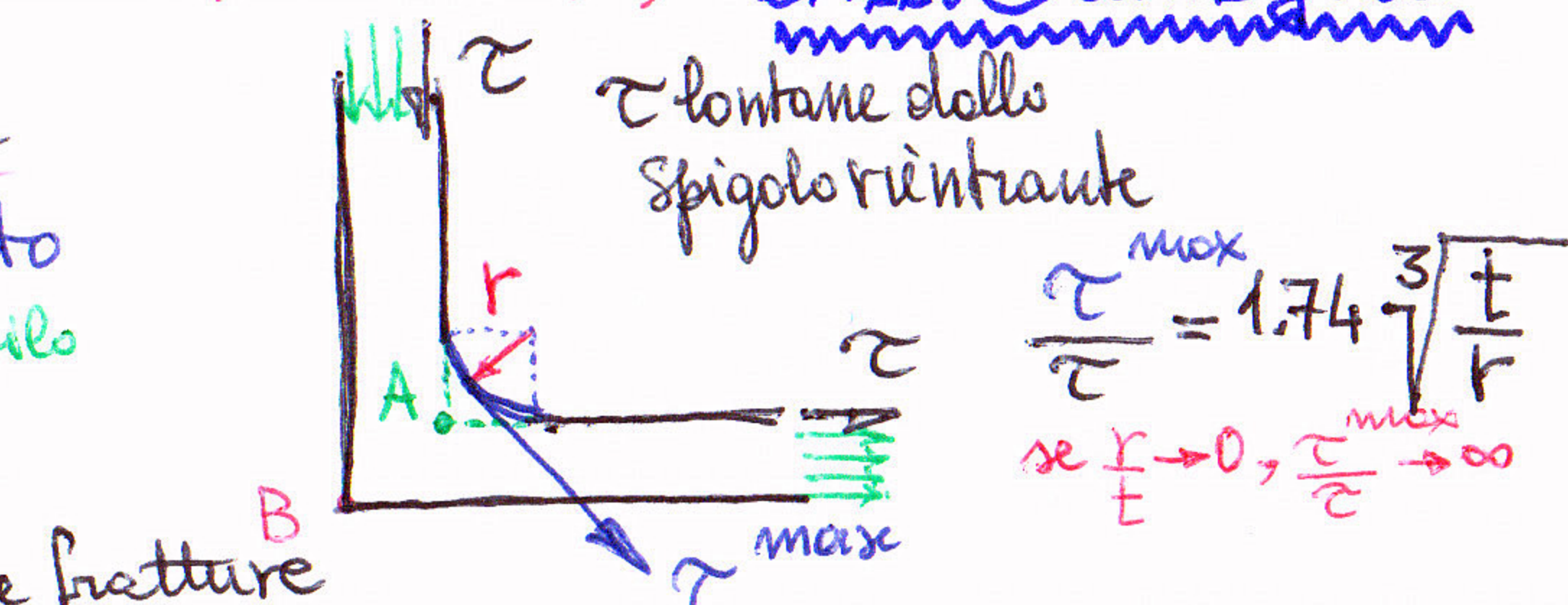
fattore di concentrazione delle tensioni:

$\text{per } \frac{b}{a} \rightarrow \infty, \frac{a}{b} \rightarrow 0 \Rightarrow T \rightarrow \infty$ secondo la teoria delle elasticità.

"Sharp notch":

v. MECCANICA DELLA FRATTURA

PRANDTL esperimenti con bolle di sapone e misure di w.



(es. pellicole trasparente per alimenti; bolle di sapone)

- Si consideri una membrana sottile tesa (con trazione per unità di lunghezza costante S) appoggiata su di un analogo contorno Γ (lo stesso di quello della sezione trasversale soggetta a torsione), soggetta a pressione uniforme p . Consente di visualizzare la fine di forza di Airy.
- La membrana subisce uno spostamento fuori piano $w(x, y)$ dipendente da p e S , secondo l'eq. ne indefinita di equil. alle traslazioni nelle direzioni x e y : $\nabla^2 w(x, y) = -\frac{p}{S}$ in A

e.c. $w(x, y) = 0$ su Γ

membrana appoggiata sul bordo \Rightarrow con $w=0$ su Γ è pb. di Dirichlet per l'eq. ne di Poisson (con terzino noto costante).

Pb. del tutto analogo a quello formulato per la funzione di Airy $\Phi(x, y)$:

$\Phi \leftrightarrow w$

$\Phi_x, \Phi_y \leftrightarrow w_{x, x}, -w_{y, y}$

$\tau_{zx}, \tau_{zy} \leftrightarrow w_{x, y}, -w_{y, x}$

Spedire l.c. $\Phi(x, y) = 0$ su Γ

$M_t = \frac{2CSV}{P}$

$$\nabla^2 w = w_{x, xx} + w_{y, yy} = -\frac{p}{S}$$

$$2 \int_A p dA = M_t \leftrightarrow \int_A w dA \rightarrow M_t = \frac{2CSV}{P}$$

20a/2